

Projet de Mathématiques 2021-2022 (Deuxième Partie)

Ngo Duong, Thibaud Reigner, Seydina Dieng

Avril 2022

1 Questions 11-20

1.1 Question 11

En utilisant la formule d'Itô

$$dg(S_t) = g'(S_t)dS_t + \frac{|\sigma S_t|^2}{2}|g''(S_t)|dt$$

Avec : $g : \mathbb{R} \rightarrow \mathbb{R}$ de régularité C2. On applique la formule d'Itô à $g = \ln$ car $x \mapsto \ln x$ est C2 sur \mathbb{R}_+^*

On a :

$$dg(S_t) = g'(S_t)dS_t + \frac{|\sigma S_t|^2}{2}|g''(S_t)|dt$$

et

$$\begin{aligned} dS_t &= S_t * (rdt + \sigma dB_t) \\ d\ln S_t &= \frac{dS_t}{S_t} + \frac{|\sigma|^2}{2} \left(-\frac{|S_t|^2}{S_t^2} \right) dt \\ &= \frac{dS_t}{S_t} - \frac{|\sigma|^2}{2} \\ &= \frac{S_t * (rdt + \sigma dB_t)}{S_t} - \frac{|\sigma|^2}{2} dt \\ &= \left(r - \frac{|\sigma|^2}{2} \right) dt + \sigma dB_t \end{aligned}$$

Par intégration par rapport au temps sur $[0, t]$, $t \in \mathbb{R}_+^*$ on a :

$$\int_0^t d\ln S_u = \int_0^t \left(r - \frac{|\sigma|^2}{2} \right) du + \int_0^t \sigma dB_u \iff \ln S_t - \ln S_0 = \left(r - \frac{|\sigma|^2}{2} \right) t + \sigma(B_t - B_0)$$

Or $B_0 = 0$ (par définition)

$$\begin{aligned} \iff \ln \frac{S_t}{S_0} &= \left(r - \frac{|\sigma|^2}{2} \right) t + \sigma B_t \\ \iff S_t &= S_0 * \exp \left(\left(r - \frac{|\sigma|^2}{2} \right) t + \sigma B_t \right) \end{aligned}$$

1.2 Question 12

Le pseudo-code du pricer_MC est le suivant :

Algorithm 1 *Pricer_MC*

Require: $T, s \geq 0, r, f : R_+ \rightarrow R_+$ continue

Ensure: Renvoie $Prix_{mc}$

```

function PRICER_3( $s, r, \sigma, T, f$ )
   $ksi \leftarrow \text{echantillon\_gaussien}(0, 1, n)$ 
   $Prix_{mc} \leftarrow 0$ 
  for  $i \leftarrow 0$  to  $n - 1$  do
     $Prix_{mc} \leftarrow Prix_{mc} + \exp(-t * T) * f(s * \exp(r - \frac{\sigma^2}{2} * T * \sigma * \sqrt{T} * ksi[i]))$ 
  end for
  return  $Prix_{mc} * \frac{1}{n}$ 
end function

```

1.3 Question 13

On trace le graphique pour le prix avec $r = 0.01, \sigma = 0.1, s = 100, T = 1$ et $f(x) = \max(x - 100, 0)$ pour $n = 10^5 k, \forall k \in [1, 10]$:

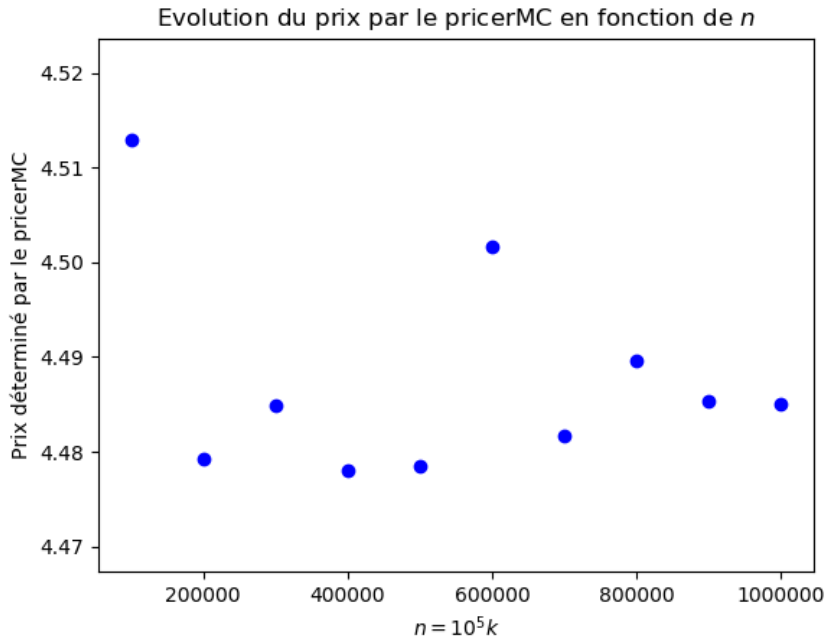


FIGURE 1 – Comparaison du put et du troisième pricer pour plusieurs valeurs de n

1.4 Question 14

Prenons

$$\mathbb{P} := \mathbb{E}[\exp(-rT)f(S_T)]$$

et

$$\widehat{Pri\hat{x}MC}(n) := \frac{1}{n} \sum_{i=1}^n \exp(-rT)f(s) \exp((r - \frac{\sigma^2}{2})T + \sigma\sqrt{T}\xi_i)$$

On pose $\forall a \in [1, n]$

$$X_i = \exp(-rT)f(s) \exp((r - \frac{\sigma^2}{2})T + \sigma\sqrt{T}\xi_i)$$

On va montrer que les X_i sont indentiquement et indépendamment distribués (iid). On voit directement que $\forall i \in [1, n]$, $X_i = \phi(\xi_i)$ où

$$\phi : R \rightarrow R$$

$$x \rightarrow \exp(-rT)f(s) \exp((r - \frac{\sigma^2}{2})T + \sigma\sqrt{T}x)$$

De plus, la fonction ϕ est strictement monotone croissante. Soient $(i, j) \in [1, n]^2$, $i \neq j$. On a (\star) :

$$\mathbb{Q}[\xi_i \leq x_i \bigcap \xi_j \leq x_j] = \mathbb{Q}[\xi_i \leq x_i] \mathbb{Q}[\xi_j \leq x_j]$$

car (ξ_i) , $i \in [1, n]$ est iid d'après l'énoncé. Et,

$$\mathbb{Q}[\xi_i \leq x_i \bigcap \xi_j \leq x_j] = \mathbb{Q}[X_i \leq \phi(x_i) \bigcap X_j \leq \phi(x_j)] = \mathbb{Q}[X_i \leq \phi(x_i)] \mathbb{Q}[X_j \leq \phi(x_j)]$$

en composant (\star) par ϕ . Les X_i sont donc iid. On peut utiliser la Loi Forte des Grands Nombres :

$$\widehat{Pri\hat{x}MC}(n) = \frac{1}{n} \sum_{i=1}^n X_i \xrightarrow{ps} \mathbb{E}[X_1]$$

où

$$\mathbb{E}[X_1] = \mathbb{E}[\exp((r - \frac{\sigma^2}{2})T + \sigma\sqrt{T}\xi_1)]$$

On reconnaît une partie de l'expression de $f(S_T)$ de la question 11.

$$f(S_T) = f(S_0 \exp((rT - \frac{T|\sigma^2|}{2})T + \exp \sigma B_T)$$

Par définition, on a

$$B_T \sim \mathcal{N}(0, T)$$

De plus,

$$\xi_1 \sim \mathcal{N}(0, 1) \rightarrow \xi_1 \sqrt{T} \sim \mathcal{N}(0, T)$$

On en conclut donc que les 2 expressions suivent la même loi. Donc,

$$(\widehat{Pri\hat{x}MC}(n))_{n \in \mathbb{N}} \xrightarrow{ps} \mathbb{P} := \mathbb{E}[\exp(-rT)f(S_T)]$$

1.5 Question 15

Voici le pseudo-code de la fonction put_BS :

Algorithm 2 *Put_BS*

Require: $T, s \geq 0, r, f : R_+ \rightarrow R_+$ continue

Ensure: Renvoie $Prix_{bs}$

```
function PRICER_3( $s, r, \sigma, T, f$ )  
   $d \leftarrow \frac{1}{\sigma \sqrt{T}} * (\log(\frac{s}{K}) + (r + (\frac{\sigma^2}{2}) * T))$   
  function F( $x$ )  
    Retourne la probabilité d'avoir  $x$   
  end function  
   $Prix_{bs} \leftarrow -s * F(-d) + K * \exp(-r * T) * F(-d + \sigma * T)$   
  return  $Prix_{bs}$   
end function
```

1.6 Question 16

Application Numérique : $r = 0.01, \sigma = 0.1, s = 100, T = 1, K = 90$ ce qui donne : 0.5815

1.7 Question 17

Nous souhaitons afficher un graphique comparant les valeurs du pricer3 et du put pour plusieurs valeurs de n

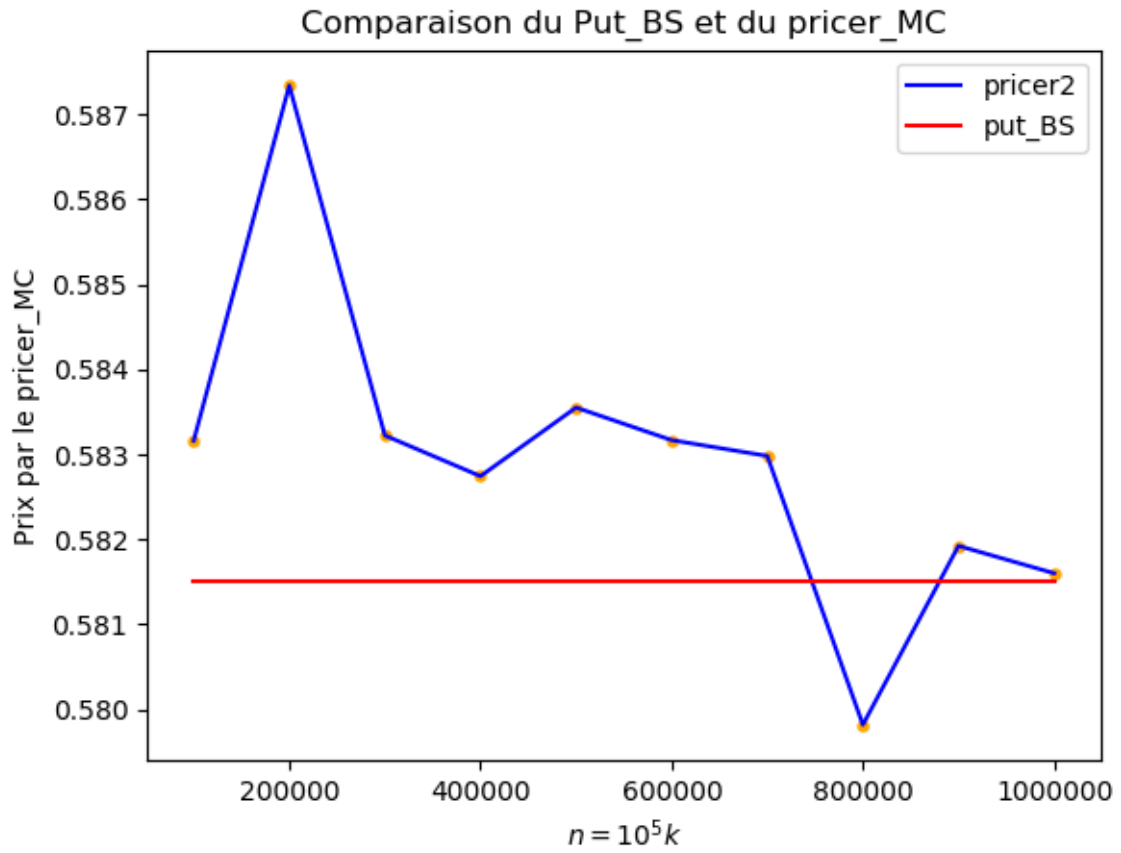


FIGURE 2 – Comparaison du put et de PricerMC pour plusieurs valeurs

1.8 Question 18

On trace sur un graphique en 3 dimensions le prix de l'option en utilisant la fonction put_BS pour $r = 0.01, \sigma = 0.1, s = 20k, K = 100, \forall k \in [1, 10], \forall T \in \frac{1}{12}, \frac{1}{6}, \frac{1}{4}, \frac{1}{3}, \frac{1}{2}, 1$

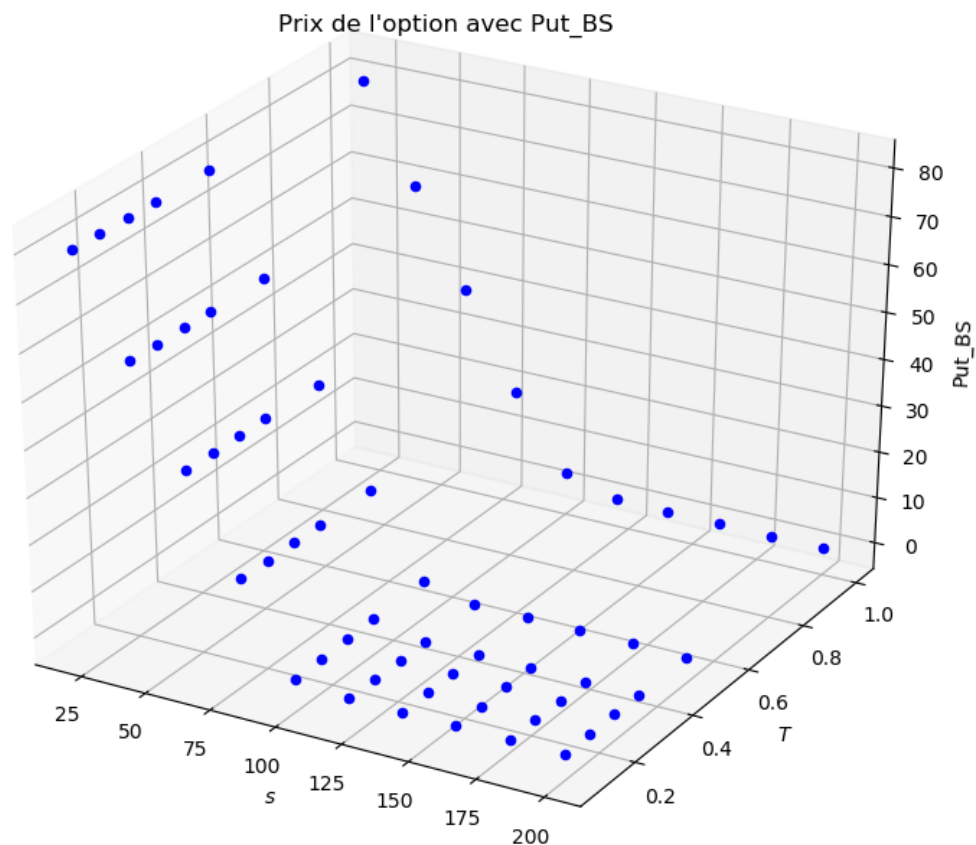


FIGURE 3 – Prix de l'option en fonction de s et de T

Remarques : le put de l'option est très sensible aux évolutions des valeurs de s : Plus s décroît, plus la valeur du put augmente fortement. Les variations de T semblent n'avoir aucun(ou peu) d'effet sur l'évolution du put. En conclusion, le prix calculé par le pricer par formule fermée est très sensible à la valeur de s .

1.9 Question 19

On trace sur un même graphique le prix en utilisant la fonction `pricer_2` d'une option qui paye $r = 0.03, \sigma = 0.2, s = 100, T = 1$ et $f(x) = \max(100 - S_T, 0)$ pour $N = 10k, \forall k \in [1, 100]$. Puis on trace sur le même graphe la droite qui a pour ordonnée p en utilisant la fonction `put_BS` pour le

calcul de p .

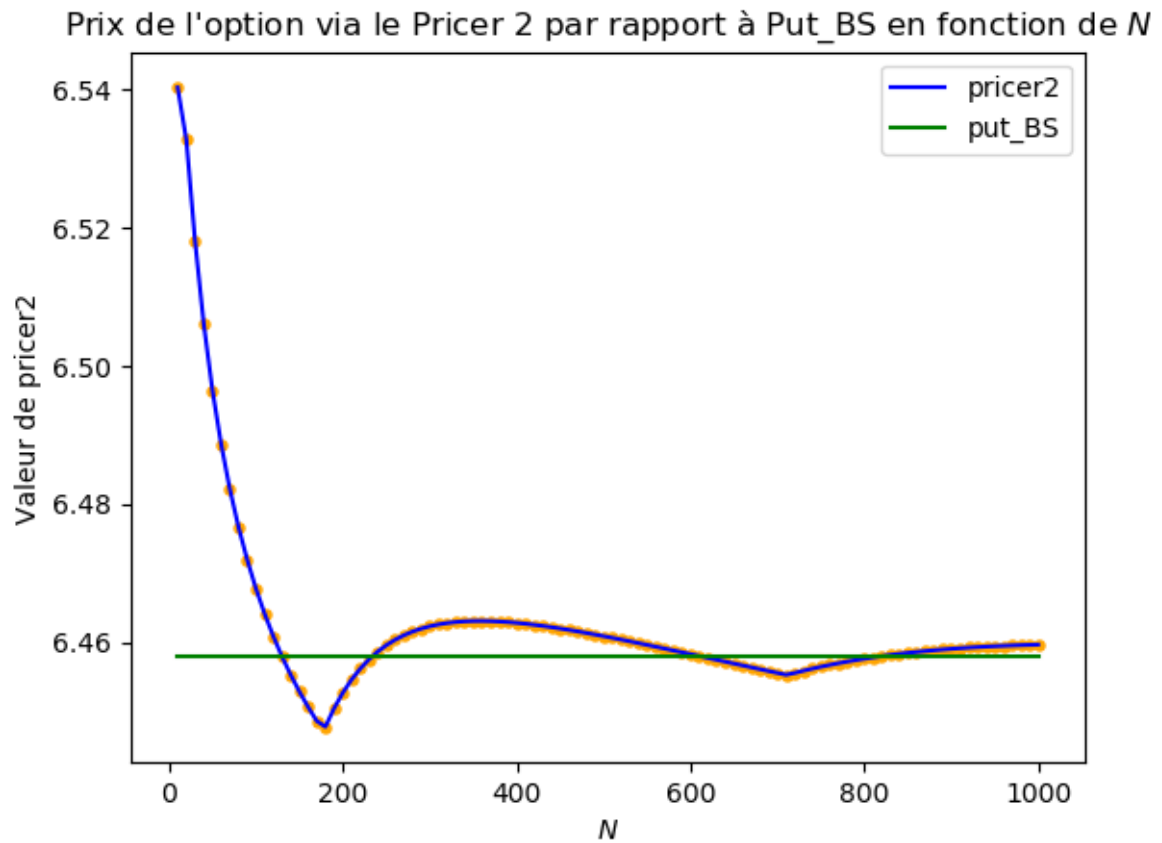


FIGURE 4 – Etude de la convergence de Cox-Ross-Rubinstein vers Black-Scholes
Remarques : Le pricer effectue un premier dépassement du put quand N est encore assez faible, puis converge vers le put quand N augmente : le modèle de Cox-Ross-Rubinstein converge donc vers le modèle de Black-Scholes lorsque le pas de discrétisation N tend est assez grand. Voici le pseudo-code de la question 19 :

Algorithm 3 *Put*

Require: $T, s \geq 0, r, f : R_+ \rightarrow R_+$ continue

Ensure: Trouve les valeurs de $r_N, h_N, b_N, p, p2$

```
function F(x)
    Retourne  $\max(100 - x, 0)$ 
end function
 $s \leftarrow 100$ 
 $\sigma \leftarrow 0.3$ 
 $r \leftarrow 0.02$ 
 $T \leftarrow 1$ 
for  $i \leftarrow 1$  to 100 do
     $Nliste[i] \leftarrow 10 * i$ 
end for
 $K \leftarrow 100$ 
 $p2 \leftarrow liste\_vide$ 
for  $N \in Nliste$  do
     $r_N \leftarrow r * \frac{T}{n}$ 
     $h_N \leftarrow (1 + r_N) * \exp(\sigma * \sqrt{\frac{1}{n}}) - 1$ 
     $b_N \leftarrow (1 + r_N) * \exp(-\sigma * \sqrt{\frac{1}{n}}) - 1$ 
     $p \leftarrow price2(N, r_N, h_N, b_N, s, f)$ 
     $p2 \leftarrow p2 \cup p$ 
end for
```

2 Question 20 - EDP de Black Scholes

2.1 EDP de BS

On considère l'équation aux dérivées partielles suivante qu'on appelle EDP de Black Scholes :

$$\forall (t, x) \in]0, T] \times (x_{min}, x_{max}), \frac{\partial p}{\partial t}(t, x) - \frac{1}{2}\sigma^2 \frac{\partial^2 p}{\partial x^2}(t, x) - (r - \frac{\sigma^2}{2}) \frac{\partial p}{\partial x}(t, x) + rp(t, x) = 0 \quad (BS)$$

$$\begin{cases} p \text{ est le prix du put en fonction du temps jusqu'à maturité } t \text{ et log prix de l'actif } x = \log(S) \\ \sigma \text{ est la volatilité du prix de l'action} \\ r \text{ est le taux d'intérêt sans risque} \end{cases}$$

Il faut maintenant la résoudre pour trouver p . Pour cela, nous allons approcher cette EDP avec 3 méthodes différentes :

- les différences finies explicites
- les différences finies implicites
- méthode de Crank-Nicholson

2.2 Discrétisation du temps et de l'espace

Soit $M \in \mathbb{N}$ le nombre de points en temps à calculer, $N \in \mathbb{N}$ le nombre de points en espace à calculer.

On va poser :

$$\begin{cases} \forall j \in 0, N, x_j = x_{min} + jh \text{ où } h = \frac{x_{max} - x_{min}}{N} \\ \forall m \in 0, M, t_m = m\Delta t \text{ où } \Delta t = \frac{T}{M} \end{cases}$$

Ainsi pour que ce soit plus lisible, on pose :

$$\begin{cases} p(t_m, x_j) = p_{m,j} \\ \mathbf{P}_m = (p_{m,0} \quad p_{m,1} \quad \dots \quad p_{m,N}) \end{cases}$$

2.3 Différences finies explicites

Selon le schéma **explicite**, on peut approcher les dérivées partielles par les quotients différentiels suivant :

$$\begin{cases} \frac{\partial p}{\partial t}(t_m, x_j) = \frac{1}{\Delta t}(p_{m+1,j} - p_{m,j}) \\ \frac{\partial p}{\partial x}(t_m, x_j) = \frac{1}{2h}(p_{m,j+1} - p_{m,j-1}) \\ \frac{\partial^2 p}{\partial x^2}(t_m, x_j) = \frac{1}{h^2}(p_{m,j+1} - 2p_{m,j} + p_{m,j-1}) \end{cases}$$

On injecte ensuite dans (BS) :

$$\begin{aligned} (BS) &\iff \frac{1}{\Delta t}(p_{m+1,j} - p_{m,j}) - \frac{\sigma^2}{2h^2}(p_{m,j+1} - 2p_{m,j} + p_{m,j-1}) - \frac{(r - \frac{\sigma^2}{2})}{2h}(p_{m,j+1} - p_{m,j-1}) + rp_{m,j} = 0 \\ &\iff p_{m+1,j} = \frac{\Delta t \sigma^2}{2h^2}(p_{m,j+1} - 2p_{m,j} + p_{m,j-1}) + \frac{\Delta t(r - \frac{\sigma^2}{2})}{2h}(p_{m,j+1} - p_{m,j-1}) + (1 - \Delta t * r)p_{m,j} \\ &\iff p_{m+1,j} = (\frac{\Delta t \sigma^2}{2h^2} + \frac{\Delta t(r - \frac{\sigma^2}{2})}{2h})p_{m,j+1} + ((1 - \Delta t * r) - \frac{\Delta t \sigma^2}{h^2})p_{m,j} + (\frac{\Delta t \sigma^2}{2h^2} - \frac{\Delta t(r - \frac{\sigma^2}{2})}{2h})p_{m,j-1} \end{aligned}$$

D'où
$$p_{m+1,j} = \left(\frac{\Delta t \sigma^2}{2h^2} + \frac{\Delta t(r - \frac{\sigma^2}{2})}{2h} \right) p_{m,j+1} + ((1 - \Delta t * r) - \frac{\Delta t \sigma^2}{h^2}) p_{m,j} + \left(\frac{\Delta t \sigma^2}{2h^2} - \frac{\Delta t(r - \frac{\sigma^2}{2})}{2h} \right) p_{m,j-1}$$

Implémentation : On a une relation (de récurrence) de p à l'instant t_{m+1} qui dépend des différentes positions de p à l'instant t_m . Autrement dit, on peut calculer \mathbf{P}_{m+1} à partir des coefficients de \mathbf{P}_m jusqu'à M .

Pour cela, il faut au préalable mettre en place les conditions aux limites suivantes :

$$\begin{cases} \mathbf{P}_0 = \left(\max(K - \exp(x_0), 0) & \max(K - \exp(x_1), 0) & \dots & \max(K - \exp(x_j), 0) & \dots & \max(K - \exp(x_{N-1}), 0) \right) \\ \mathbf{P}_i = \left(K \exp(-r * t_i) - \exp(x_{min}) & \dots & \dots & \dots & 0 \right), \forall i \in \{0, \dots, M-1\} \end{cases}$$

Notre implémentation Python utilise une matrice pour stocker les vecteurs \mathbf{P}_m dans ces lignes.

Algorithm 4 Prix du put - Méthode explicite à implémenter

Require: $\sigma, M \in \mathbb{N}, N \in \mathbb{N}, r, K, T, x_{min}, x_{max}$

Ensure: La i^e ligne de \mathbf{P} représente les prix possibles du put à l'instant t_i

```

P ← zeros(M, N)                                ▷ //Créer une matrice (M)x(N)

//Discrétisation de l'espace-temps
Δt = T/M
h = (xmax - xmin)/N
//Initialisation des conditions aux limites
for k ← 2 to N - 1 do
    P1,k = max(K - exp(xmin + k * h), 0)
end for
for j ← 1 to M do
    Pj,1 = K * exp(-r * Δt * j) - exp(xmin)
    Pj,M = 0
end for
//Construction de la matrice P
a1 ← Δt * (1/Δt - r - (sigma/h)2)
a2 ← Δt * ((1/2) * (sigma/h)2 + (r - (sigma2/2)) * (1/(2 * h)))
a3 ← Δt * ((1/2) * (sigma/h)2 - (r - (sigma2/2)) * (1/(2 * h)))
for m ← 2 to M do
    for n ← 2 to N - 2 do
        Pm,n = a1 * Pm-1,n + a2 * Pm-1,n+1 + a3 * Pm-1,n-1
    end for
end for

```

Stabilité : On doit maintenant chercher quelle valeur de M fixer afin de garantir la stabilité de la méthode.

Si on pose : $k = \frac{\Delta t}{h}$ alors le schéma explicite est stable si $k \leq \frac{1}{2} \iff \frac{2T}{h^2} \leq M$.

Pour garantir la stabilité du schéma explicite, il faut prendre $M \geq \frac{2TN^2}{(x_{max} - x_{min})^2}$

2.4 Différences finies implicites